

گروه بندی ژنتیکی تعدادی سویه ریزوبیومی بومی خاکهای ایران با استفاده

از تکنیکهای S-23S IGS PCR-RFLP^{۱۶} و پروفیل پلاسمیدی

حسینعلی علیخانی^{*۱}، باقر یخچالی^{۱۲} و هانی آنتوان^۳

^۱ کرج، دانشگاه تهران، دانشکده کشاورزی

^۲ تهران، پژوهشگاه ملی مهندسی ژنتیک و زیست فناوری

^۳ کانادا، کبک، دانشگاه لاوال، دانشکده کشاورزی

تاریخ دریافت: ۸۵/۰۸/۱۸ تاریخ پذیرش: ۸۵/۰۱/۲۴

چکیده

درین پروکاریوتها مجموعه‌ای از باکتریهای خاکری که اصطلاحاً ریزوبیبا نامیده می‌شوند بلحاظ توانایی در ایجاد سیستم همزیستی ثبت کننده نیتروژن مولکولی با گیاهان خانواده لگوم حائز اهمیت فراوانی هستند. توالی بین ژنهای 16S rRNA و 23S rRNA که اصطلاحاً S-23S IGS^{۱۶} نامیده می‌شود از نظر اندازه و توالی بسیار متفاوت بوده و ابزار مفیدی برای گروه بندی سویه‌های ریزوبیومی می‌باشد. درین مطالعه تعداد ۵۲ سویه برتر ریزوبیومی که بعنوان عوامل محرك رشد گیاه (PGPR) شناخته شده‌اند، بطریق S-23S IGS PCR-RFLP^{۱۶} و پروفیل پلاسمیدی (روش اکهارت) گروه‌بندی شد. نتایج حاصل نشان می‌دهد که سویه‌های ریزوبیومی مورد مطالعه از نظر اندازه بسیار متنوع (1486-600 bp) است. بعلاوه تعداد نسخه‌های IGS سویه‌های مختلف نیز یکسان نبوده و از یک تا سه نسخه متفاوت می‌باشد. براساس روش S-23S IGS PCR-RFLP^{۱۶} مجموع ۵۲ سویه ریزوبیومی در ۴۶ گروه مختلف قرار گرفت که افراد ۱۱ گروه دارای ۷۰ درصد تشایه بین سویه‌ای هستند. با استفاده از این روش بجز ۱۲ سویه‌ی 54 Bj و 53 Rlv و 28 Rlv و 27 Rlv و 24 Rlv و ۲۳ Rlv و ۲۲ Sm و ۱۳ Sm و ۱۲ Sm و ۱۱ Sm و ۱۰ Sm، مابقی سویه‌ها (۷۷ درصد) کاملاً از یکدیگر تفکیک شد. بنابراین روش مذکور بدلیل سادگی و نیازهای اندک آزمایشگاهی (نسبت به سایر روش‌های مولکولی) برای قابل انجام بوده و از کارآمدی و اطمینان بالایی نیز برخوردار است. گروه بندی مبتنی بر پروفیل پلاسمیدی سویه‌های مختلف ریزوبیومی مورد استفاده درین تحقیق تا حدودی با نتایج حاصل از روش IGS PCR-RFLP همانگی دارد، بطور مثال سویه‌های 54 Bj و 53 Rlv، سویه‌های ۲۴ Rlv و ۲۳ Rlv، همچنین سویه‌های ۱۷ Rlp و ۱۶ Rlp و سویه‌های ۱۳ Sm و ۱۲ Sm در هر دو روش بصورت کاملاً مشابه در کنار یکدیگر و درون گروههای کلاستری جداگانه قرار گرفتند.

واژه‌های کلیدی: سویه‌های ریزوبیومی، S-23S IGS PCR-RFLP^{۱۶}، پروفیل پلاسمیدی، گروه بندی ژنتیکی

*نویسنده مسئول، تلفن تماس: ۰۲۶۱-۲۵۵۷۷۰۹، پست الکترونی: halikhan@ut.ac.ir

مقدمه

سالهای متتمادی تقریباً متوقف بوده و فقدان اطلاعات قوی ریخت‌شناسی حاصل از مطالعه جوامع پیچیده پروکاریوتها مانع از شناخت دقیق ساختار جوامع میکروبی در غالب

از آنجا که توصیف پروکاریوت‌های خاکری قبل از جداسازی آنها از خاک و تهیه کشت خالص فوق العاده سخت است، مطالعه تنوع زیستی (biodiversity) پروکاریوت‌ها برای

مولکول S rRNA₁₆ وجود دارد، ولی برخلاف ملکول S rRNA₁₆، استفاده از توالی بین ژنهای S rRNA₁₆ و S₂₃ که اصطلاحاً S-23S IGS₁₆ نامیده می‌شود مشکل مذکور را بطور قابل ملاحظه‌ای کاهش می‌دهد (۱۲، ۱۴).

گارتلر و استاینسیچ (۱۹۹۶) و کاستمن و همکاران (۱۹۹۲) گزارش نمودند که منطقه S-23S IGS₁₆ از نظر طول قطعه و توالی آن حتی درین گروههای تاکسونومیک (آرایه شناختی) با قربت زیاد متفاوت است (۸ و ۶). لذا مطالعه طول و ترکیب توالی نوکلئوتیدهای این قطعه، ابزار بسیار مفیدی برای مطالعه تغییرات زیستی و یا گروه بندی پروکاریوتها می‌باشد (۱۲، ۱۸).

بسیاری از باکتریها حاوی DNA غیر ژنومی بنام پلاسمید هستند که در دی ازوتروفها خصوصاً باکتریهای ریزوپیومی حاوی ژنهای لازم برای انجام فرآیند ثبت نیتروژن اتمسفری هستند. باکتریهای ریزوپیومی معمولاً حاوی ۱-۶ پلاسمید بسیار بزرگ (Kb 600-100) به نام مگاپلاسمید هستند. مگاپلاسمیدها معمولاً حاوی ژنهای گره زایی (Nodulation, nod)، ژنهای لازم برای انتخاب گیاه میزان خاص (Host range specificity, hsn) و ژنهای لازم برای فرآیند ثبت ازت مولکولی (N2 fixation, nif) می‌باشند. لذا اصطلاحاً پلاسمیدهای سمبیوتیک (یا سیمپلاسمید) و بطور اختصار pSym نامیده می‌شوند (۱ و ۲۴). مارتینز - رومرو و کابالیرو - میلادو (۱۹۹۶) نشان دادند که انتقال مگاپلاسمیدها نقش بسیار مهمی در تغییرات ژنتیکی و تکامل باکتریهای ریزوپیومی دارد (۱۳). همچنین ثابت شده است که می‌توان با وارد نمودن سیمپلاسمید به درون ریزوپیومهای غیر همزیست بار دیگر توان برقراری هم زیستی با گیاه لگوم را در آنها ایجاد نمود (۵، ۹، ۲۱).

تعداد و اندازه مگاپلاسمیدهای سویه‌های ریزوپیومی را می‌توان برای گروه بندی سویه‌های ریزوپیومی مورد استفاده قرار داد. تهیه پروفیل پلاسمیدی برای این منظور اغلب بر پایه روش اکھارت انجام می‌پذیرد (۲، ۲۱). در

اکوسیستمهای شده است (۳). اما این وضعیت درنتیجه دستیابی محققین به تکنیکهای Targeted PCR، Random Amplified Fingerprinting (TPF)، Repetitive Polymorphic DNA PCR (RAPD-PCR) و sequences PCR (rep-PCR) هستند تا حدودی مرتفع گردیده است (۸، ۱۰، ۱۴). در بین پروکاریوتها مجموعه‌ای از باکتریهای خاکزی که اصطلاحاً ریزوپیا نامیده می‌شوند بلحاظ توانایی درایجاد سیستم همزیستی ثبت کننده نیتروژن مولکولی با گیاهان خانواده لگومینوز حائز اهمیت فوق العاده هستند (۱، ۲۰). طی یک دهه اخیر اطلاعات بسیار ارزشمندی درنتیجه کاربرد مجموعه‌ای از روش‌های مولکولی مبتنی بر PCR درخصوص طبقه بندی و ارتباط ژنتیکی باکتریهای ریزوپیا حاصل شده است (۱۰، ۱۷). براساس مطالعه توالی ژنهای S rRNA₁₆ که در سالهای اخیر مورد توجه بسیاری از محققین قرار گرفته است، باکتریهای ریزوپیا مجموعه‌ای پلی فیلتیک می‌باشند که در چهار گروه فیلوژنتیکی اصلی از زیر شاخه ۲ α و شاخه پروتوباكتریا قرار گرفته اند. این باکتریها بطور معمول در سه سرده (جنس) مزوریزوپیوم، سینوریزوپیوم و ریزوپیوم قرار می‌گیرند که یکی از کلاسترها ریزوپیا را تشکیل می‌دهند. بعلاوه سرده‌های (جنس‌های) دیگر آن شامل آزوریزوپیوم و برادی ریزوپیوم می‌باشد که در بخش دیگر گروه فیلوژنتیکی قرار می‌گیرد (۲۰).

ژن rRNA₁₆ S یکی از ژنهایی است که در مطالعات فیلوژنتیکی باکتریها مورد استفاده فراوان دارد. این ژن از نظر اندازه ثابت و شامل بخش‌های فوق العاده محافظت شده می‌باشد که بصورت مناطق موزائیکی درین قطعات غیرحافظتی (متغیر) قرار گرفته است. این مناطق حفاظت شده خصوصاً در تعیین میزان قربت ژنتیکی و طبقه بندی پروکاریوتها حائز اهمیت فوق العاده زیادی است. گرچه چالشهای نیز در مطالعه تغییرات جامعه زیستی خاک با استفاده از تفکیک و تمایز اختلافات ژنی بر اساس اندازه

تکثیر قطعه S-23S IGS16 PCR توسط: برای تکثیر قطعه S-23S IGS16 از دو آغازگر پیش رونده (Forward) (S-23S IGS16) و آغازگر دوم (Reverse) (TGC GGCTGGATCACCT)FGPS 1490 (CCTT و پس رونده (CCGGGTTTCCCCATTACGG) استفاده شد (۲). پرایم اول از قسمت انتهایی قطعه S16 و آغازگر دوم از قسمت ابتدایی قطعه S23 طراحی شد. واکنش PCR در حجم نهایی ۵۰ میکرو لیتر شامل مقادیر: $1\text{ }\mu\text{l}$ از نمونه DNA، $1\text{ }\mu\text{l}$ از هر کدام از پرایم‌های پیش رونده و پس رونده ($\mu\text{l}5$), $8\text{ }\mu\text{l}$ مخلوط dNTPs ($1250\mu\text{M}$), U بافر ۱۰ X PCR, $5\text{ }\mu\text{l}$ از محلول (50^{mM}), $5\text{ }\mu\text{l}$ آنزیم Tag DNA polymerase (۵u/ μl) و بعلاوه $32\text{ }\mu\text{l}$ آب دوبار تقطیر فاقد یون توسط دستگاه ترموسایکلر مدل PERKIN ELMER CETUS 480 با پریود دمایی: ۵ دقیقه ۹۵ درجه سانتی گراد و سپس طی ۳۵ سیکل متوالی شامل: ۱ دقیقه در ۹۵ درجه سانتی گراد، ۱ دقیقه در ۵۶ درجه سانتی گراد و ۲ دقیقه در ۷۲ درجه سانتی گراد انجام گرفت.

صحت انجام فرایند PCR توسط الکتروفورز محصول PCR روی ژل آگاروز ۸/۰ درصد به مدت یک ساعت در ۵۰ ولت بررسی شد.

محصول نهایی QIAquickR spin PCR با استفاده از کیت خالص‌سازی شد و برای استفاده در مراحل بعدی تحقیق در دمای ۲۰ درجه سانتی گراد نگهداری گردید.

برش آنزیمی محصولات IGS PCR و آنالیز IGS PCR-RFLP: بررسی اندازه و مقایسه طول قطعات IGS سویه‌های ریزوپیومی، با الکتروفورز محصول PCR هر نمونه بر روی ژل آگاروز انجام شد. آزمون تناسب آنزیم آنزیم (Enzyme suitability test) برای انتخاب مناسب ترین آنزیم اندونوکلئاز برای برش قطعات IGS آنالیز مختلف (Hae III, Dde I, Cfo I, Rsa I, Alu I, Hinf I, Hha I, Msp I, from Roche, Germany) انجام و از بین

این تحقیق با استفاده از روش فوق و تکثیر و آنالیز ۱۶ S-23S IGS ۵۲ سویه ریزوپیومی محرک رشد گیاه (PGPR) بومی گروه بندی شد.

مواد و روشها

سویه‌های باکتری، شرایط کشت و استخراج DNA در این تحقیق از تعداد ۵۲ سویه ریزوپیومی متعلق به ۴ جنس سینوریزوپیوم، برادی ریزوپیوم، ریزوپیوم و مزوریزوپیوم استفاده شده است. تکثیر ایزوله‌های ریزوپیومی بر روی محیط کشت مایع TY در دمای ۲۸ درجه سانتی گراد و بر روی شیکر دورانی در rpm120 انجام گرفت. استخراج DNA ژنومی مطابق روش پیشنهادی چن و کاو (۱۹۹۳) بشرح زیر انجام شد (۲).

ابتدا باکتریهای $ml5/1$ از کشت مایع با دانسیتۀ نوری $0.5\text{ OD}_{620\text{nm}}$ توسط سانتریفیوژ جدا شده و به آن $200\text{ mM Tris-acetate pH 7.8}$, $20\text{ mM sodium- acetate}$, 1 mM EDTA , 1% SDS میکرو لیتر بافر لیزکننده: 5 NaCl افزوده و به خوبی مخلوط و به مدت ۱۰ دقیقه در دمای ۴ درجه سانتی گراد در rpm12000 سانتریفیوژ شد. پس از جدا کردن مایع شفاف رویی هم حجم آن کلروفرم اضافه، کاملاً مخلوط و به مدت ۳ دقیقه در rpm12000 سانتریفیوژ شد. به مایع روئی اتانول ۱۰۰ درصد به اندازه دو برابر حجم آن اضافه و به مدت ۲۴ ساعت در دمای ۲۰ سانتی گراد نگهداری شد. پس از سانتریفیوژ، محلول رویی خارج گردید. رسوب DNA دو نوبت با اتانول ۷۰ درصد شسته، و خشک و DNA حاصل در $5\text{ mM}\text{ TE 1X}$ به آرامی حل شد. صحت DNA استخراج شده از طریق الکتروفورز بر روی ژل آگاروز ۸/۰ درصد بررسی و برای استفاده در مراحل بعدی تحقیق در دمای ۲۰ درجه سانتی گراد نگهداری گردید.

تعداد ۶ آنزیم از مجموع ۸ آنزیم مورد استفاده دارای بیشترین کارایی در برش قطعات IGS می‌باشد که بر *Hae III*, *Hha I*, *Rsa I*, *Dde I*, *Hinf I* با کارایی نسبتاً بیشتر و آنزیمهای *Alu I* با کارایی نسبتاً کمتر قرار گرفتند.

اندازه‌ی طول قطعه (ها)ی IGS₁₆ S-23S در سویه‌های مختلف ریزوبیومی از دوطریق؛ اندازه‌گیری قطعات محصول PCR IGS قبل از برش آنزیمی و مجموع اندازه IGS قطعات DNA حاصل از برش آنزیمی محصول PCR توسط آنزیمهای سه گانه سری اول (*Hha I*, *HinfI*) در مقایسه با مارکر اندازه مولکولی (*Hae III*) در مقایسه با مارکر اندازه (شکل ۱). نتایج حاصل نشان داد که طول قطعه‌ی IGS سویه‌های ریزوبیومی بسیار متفاوت و از 600 bp (سویه ۲۱ (*Rlp ۲۱*) تا 1486 bp (*Rlt ۳۶*، 34 *Rlp ۱۹*، 19 *Rlt ۱۹*) متغیر است. جنسن و همکاران (۱۹۹۳)، نورمند و همکاران (۱۹۹۷) همچنین کاترینی و همکاران (۲۰۰۲) نیز طول قطعه IGS₁₆ S-23S در باکتریهای سرده (جنس) برای ریزوبیوم حدود 800 bp، سرده (جنس) مژوریزوبیوم حدود 900-800 bp، گونه ریزوبیوم لگو مینوزاروم حدود 1300-1100 bp و در سرده (جنس) سینوریزوبیوم گزارش کرده اند (۱۸). جدول شماره ۱ اندازه قطعه (ها)ی IGS سویه‌های مورد بررسی را نشان می‌دهد. تفاوت در اندازه قطعات IGS را می‌توان عمدتاً مربوط ببعداد و نوع ژنهای tRNA موجود در منطقه IGS دانست (۱۲).

گو و همکاران (۱۹۹۹) حذف یا اضافه شدن (Insertion or Deletion) DNA را دلیل دیگری برای اختلاف در طول قطعه IGS در سویه‌های مختلف می‌دانند (۵). بطورکلی در ۴۴ درصد از سویه‌های ریزوبیومی مورد مطالعه طول قطعه IGS کمتر از 1000 bp و در ۵۶ درصد از

آنها ۶ آنزیم Dde I, Alu I, Hinf I, Hha I, Hae III و Rsa I برای تهیه الگوی برش قطعات IGS انتخاب گردید. واکنش برش آنزیمی مطابق دستورالعمل شرکت سازنده آنزیم انجام شد. نمونه‌های IGS برش داده شده توسط هر آنزیم بر روی ژل آگاروز ۳ درصد الکتروز و پس از رنگآمیزی در محلول اتیدیوم بروماید تصویربرداری شد.

استخراج پلاسمید: تهیه پلاسمید به روش اکهارت (با اصلاحات جزئی) و لیز سلول درون چاهکهای ژل (in-gel lysis method of Eckhart) آگاروز ۰/۷ درصد انجام شد. در این روش سلولهای ۵/۱ ml کشت ریزوبیومی از محیط کشت TY با دانسیته نوری ۰/۲ OD_{620nm} رسوب داده شد. رسوب باکتری ریزوبیومی طی دو مرحله، ابتدا با ۱۵۰۰ آب مقطر استریل و سپس با محلول ۰/۳ درصد سدیم سارکوزینات شسته و مقدار ۱۰ μl ۱۵ دقیقه TE10mM+2%FiColl نگهداری در یخ مقدار ۱۰ μl از محلول لیز کننده: TE(10mM)+RNAs A(0.4mg/ml) +lysosome] آگاروز ۰/۷ درصد حاوی ۱۲۵ μl افزوده شد. آنگاه تمامی محتویات لوله‌ها در چاهکهای ژل افزوده شد. آنگاه ۱ از محلول لیز (Bromophenol Red 1mg/ml +xylene cyanol FF 1mg/ml + SDS 10% + ۰/۱ درصد حاوی ۱۰۰ μl) در ۴۰ ولت و سپس ۱۲ ساعت در ۱۰۰ ولت درون سرداخانه (۴ درجه سانتی گراد) انجام گرفت. ژلهای مذکور پس از رنگآمیزی در محلول اتیدیوم بروماید، با نور UV بررسی و تصویربرداری شد (۴).

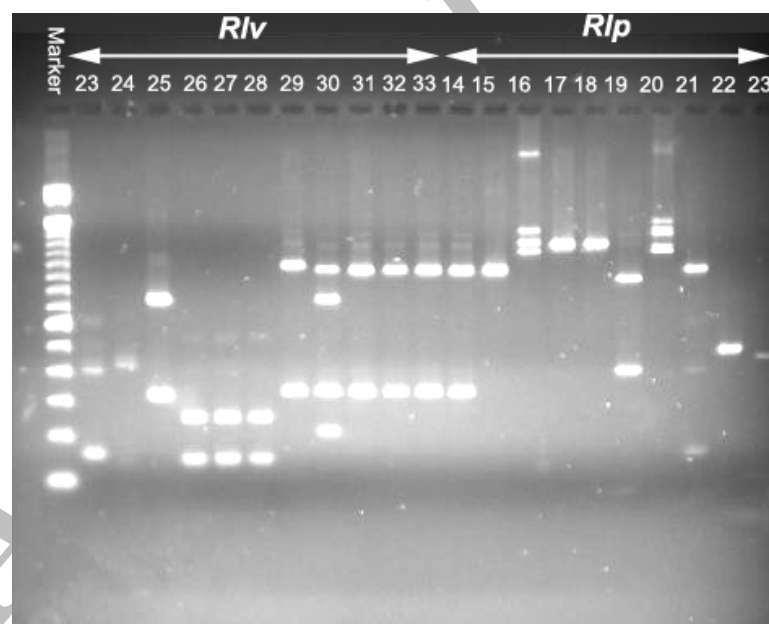
نتایج و بحث

آنالیز IGS PCR-RFLP

الف) – اندازه و تعداد قطعات IGS تکثیر شده بواسیله PCR: آزمون انجام شده برای انتخاب مناسب‌ترین آنزیم جهت برش قطعات IGS باکتریهای ریزوبیومی نشان داد که

شود. لذا بیشترین هماهنگی بین مجموع اندازه‌ی قطعات حاصل از برش آنژیمی قطعه‌ی IGS با اندازه‌ی طول *Hinf* I آنژیم IGS (قبل از برش) مربوط به آنژیم *Hinf* I و کمترین آن مربوط به آنژیم *Hae* III است و این بدان معنا است که درنتیجه برش قطعه‌ی IGS با آنژیم *Hae* III قطعات بسیار کوچک DNA حاصل می‌شود که بر روی ژل آگاروز ۳ درصد قابل تشخیص و اندازه گیری نمی‌باشد. بر عکس نتیجه برش قطعه IGS با آنژیم *Hinf* I تولید قطعات بزرگتر و قابل تشخیص DNA، بر روی ژل آگاروز ۳ درصد می‌باشد. این نتایج نشان دهنده وجود تفاوت در توالی قطعات IGS سویه‌های مختلف است.

سویه‌های در حدود ۱۴۰۰-۱۰۰۰ bp می‌باشد. بیشترین تفاوت در اندازه IGS در بین سویه‌های ۱۴۸۶ (bp600) و از طرف دیگر بیشترین تشابه اندازه IGS در بین سویه‌های ۱۲۹۰-۱۴۸۶ (bp 1290-1486) می‌باشد. در اندازه‌گیری طول قطعه اصلی IGS از طریق مستقیم در مقایسه با مجموع اندازه قطعات DNA حاصل از برش برخی از آنژیمهای هماهنگی نسبتاً قابل قبول مشاهده می‌شود. بطور مثال در ۴۲ سویه (حدود ۸۰ درصد) مجموع اندازه قطعات IGS حاصل از برش آنژیم *Hinf* I با طول قطعه اصلی IGS کمتر از ۲۰ درصد اختلاف دارد. برای آنژیم *Hha* I این اختلاف اندازه IGS (اختلاف کمتر از ۲۰ درصد) در ۲۵ سویه (۴۸٪ سویه‌ها) و برای آنژیم *Hae* III تنها در ۱۴ سویه (۲۷ درصد سویه‌ها) مشاهده می‌



شکل ۱- الگوی برش ۱۶ سویه‌های آنژیم *Hinf* I توسط آنژیم *Rlv*, *Rlp* مارکر ۱۰۰-۲۰۰۰ bp invitrogen DNA: ۱۰۰-۲۰۰۰ bp invitrogen *Hinf* I سویه‌های آنژیم *Rlv*, *Rlp* توسط آنژیم *Hinf* I سویه‌های آنژیم *Rlv*, *Rlp* مارکر ۱۰۰-۲۰۰۰ bp invitrogen

مطالعه، تعداد ۳۹ سویه (۷۵ درصد) دارای یک نسخه IGS، ۴ سویه (۷/۷ درصد) دارای ۲ نسخه IGS و تعداد ۹ سویه ریزوپیومی (۱۷/۳ درصد) هر کدام ۳ نسخه IGS دارند. بیشترین یکسانی از نظر تعداد نسخه‌های IGS

تعداد نسخه‌های IGS تکثیر شده توسط PCR در سویه‌های مختلف ریزوپیومی نیز یکسان نمی‌باشد (جدول ۱). این تعداد در بین سویه‌های ریزوپیومی از یک تا سه نسخه متفاوت است. در مجموع از بین ۵۲ سویه ریزوپیومی مورد

بصورت مجزا ولی سویه های *Mc* ۴۳، *Mc* ۴۲، *Mc* ۴۱، *Mc* ۴۰ همراه با سویه *Bj* ۵۲ می باشند، ضمناً سویه های *Mc* ۴۷ در کنار سویه های تند رشد *Bj* ۵۴ و *Bj* ۵۳ در گروه ۱۴ و سویه های *Mc* ۴۴ در کنار سویه های *Rlp* ۱۹، ۱۷، ۱۶ قرار می گیرند. این وضعیت نشان می دهد که سویه های *Sm* از نظر طول و تعداد قطعات IGS بیشترشیبه سویه های *Rlv* و *Rlt* می باشند. در مقابل سویه های مژوریزوبیوم که بصورت مجزا و یا همراه با سویه های کند رشد و تند رشد *Bj* و حتی برخی سویه های *Rlp* هستند دارای پراکنش بین گروهی فراوانی می باشند که با ماهیت و نحوه رفتاری این گروه از نظر سرعت رشد نیز همانگی دارد. کاترینی و همکاران (۲۰۰۲) همچنین نور و همکاران (b) و (a) با استفاده از تکنیک S-23S IGS PCR-۱۶RFLP نشان داده اند که ناهمگنی زیاد بین سویه های سرده (جنس) مژوریزوبیوم، دارای قدرت تلقیح به گیاه نخود (Cicer arietinum)، وجود دارد (۱۵، ۱۶، ۱۸). الگوی بشش آنزیمی قطعه‌ی S IGS - 16S ۲۳ سویه های مختلف ریزوبیومی توسط هر کدام از آنزیمهای سه گانه سری اول شامل *Hae III* و *Hha I* و *Hinf I* تهیه (شکل ۱) و با توجه به الگوی ترکیبی هضم آنزیمهای سه گانه مذکور اقدام به ترسیم درخت ژنتیکی و گروه بندی سویه ها شد (شکل ۳-B). براین اساس مجموع ۵۲ سویه ریزوبیومی مورد مطالعه در ۳۶ گروه مختلف قرار گرفت. افراد ۱۱ گروه (شامل ۳۱ سویه) از مجموع ۳۶ گروه حدوداً دارای ۷۰ درصد تشابه بین سویه ای می باشند. و تعداد ۲۱ سویه ریزوبیومی بصورت مجزا قرار می گیرند. جدول شماره ۱ وضعیت گروه های کلاستری ۱۲ گانه‌ی (با تشابه درون گروهی بیش از ۷۰ درصد) و سویه های مربوطه را نشان می دهد.

دربین سویه های *Bj* (همگی دارای یک نسخه IGS) و بیشترین اختلاف در بین سویه های *Rlv* ۵ (سویه هر کدام سه نسخه و ۶ سویه دیگر هر کدام یک نسخه) مشاهده می شود.

(ب) - گروه بندی سویه های ریزوبیومی: برای گروه بندی سویه های ریزوبیومی بر اساس IGS PCR-RFLP از نرم افزار Phylogenetic version 3.6a3 استفاده شد. با توجه به اختلاف قابل توجه مشاهده در اندازه و تعداد نسخه های قطعات IGS سویه های ریزوبیومی مورد مطالعه، ابتدا نحوی ارتباط ژنتیکی بین سویه ها براساس مشخصات (اندازه‌ی طول و تعداد) قطعات IGS تکثیر شده توسط PCR (قبل از هر گونه هضم آنزیمی) و از طریق ترسیم درخت ژنتیکی (Dendrogram) و گروه بندی آنها مورد بررسی قرار گرفت (شکل ۳A). گروه بندی حاصله نشان می دهد، تعداد ۵۲ سویه ریزوبیومی موجود که مربوط به ۷ گروه (جنس(سرده)، گونه و بیووار) مختلف می باشند از این طریق در ۱۶ گروه مختلف قرار می گیرند که اعضای بسیاری از شاخه ها بدون اختلاف (تفکیک) در کنار یکدیگر قرار دارند. دربین سویه های *Sm*، تعداد سه سویه (*Sm* ۲ و *Sm* ۳ و *Sm* ۴) بصورت مجزا قرار می گیرند. سویه های *Sm* ۱۳ و *Sm* ۱۲ و *Sm* ۱۱ و *Sm* ۱۰ و *Sm* ۹ نیز بدون هیچگونه اختلاف و در کنار یکدیگر در گروه ۴ قرار دارند. سویه های *Sm* ۷ و *Sm* ۶ و *Sm* ۵ ضمن *Sm* ۵۰ درصد اختلاف با سویه های *Rlv* ۲۴ و *Rlv* ۲۳ همگی در گروه ۳ واقع می شوند. سویه های *Sm* ۸ در نزدیکی سویه های *Rlv* ۳۳ و *Rlv* ۳۴، ۲۶ و *Rlt* ۳۵ قرار می گیرد. سویه های *Sm* ۳۶ نیز با حدود ۷۰ درصد تشابه در نزدیکی سویه های *Sm* در گروه ۴ قرار دارند. سویه های کند رشد *Bj* ۵۱ و *Bj* ۵۰ در کنار سویه کند رشد *Bsp* ۳۷ (در شاخه ۱۵) و سویه های تند رشد *Bj* ۵۴ و *Bj* ۵۳ در کنار سویه های *Mc* ۴۷ و *Mc* ۱۵ (در شاخه ۱۴) واقع شده اند. سویه های *Rlp* نیز بصورت مجزا و یا عمدها در گروه ۵ قرار می گیرند. از بین سویه های جنس مژوریزوبیوم ، سویه های *Mc* ۴۸ و *Mc* ۶

جدول شماره ۱ - مشخصات مربوط به طول و تعداد نسخه های IGS سویه های ریزوبیومی و گروه بندی آنها بر اساس S-23S IGS PCR-RFLP^{۱۶}

کد سویه	گیاه میزان	تعداد قطعات IGS	اندازه (bp) IGS قبل از برش آنزیم	مجموع اندازه هی قطعات حاصل از برش (bp) IGS			گروه بندی سویه ها بر اساس PCR RFLP (حدود ۷۰٪ تشابه)
				Hinf 1	Hae I	Hae III	
2 Sm	یونجه	۳	۶۲۵+۶۷۷+۷۶۷ (۲۰۶۹)	۵۷۵	۷۶۸	۸۵۵	جدا
3 Sm		۱	۶۶۵	۴۱۵	۴۲۳	۲۸۱	جدا
4 Sm		۱	۱۰۹۸	۱۰۷۵	۱۰۴۸	۷۳۷	جدا
5 Sm		۱	۶۲۵	۴۲۵	۴۹۰	۴۷۵	G1
6 Sm		۱	۶۲۵	۴۲۵	۴۹۰	۴۷۵	G1
7 Sm		۱	۶۲۵	۴۲۵	۴۹۰	۴۷۵	G1
8 Sm		۱	۱۳۵۲	۹۹۸	۱۰۰۹	۷۸۵	G2
9 Sm		۱	۱۲۹۰	۹۹۷	۱۱۹۱	۸۴۶	G2
10 Sm		۱	۱۲۹۰	۹۹۸	۱۱۹۱	۸۴۶	G2
11 Sm		۱	۱۲۹۰	۱۰۷۵	۱۱۹۱	۸۴۶	G2
12 Sm		۱	۱۲۹۰	۱۳۳۳	۱۱۹۱	۸۴۶	G2
13 Sm		۱	۱۲۹۰	۱۳۳۳	۱۱۹۱	۸۴۶	G2
14 Rlp	لوبیا	۱	۹۲۶	۸۹۵	۸۰۳	۶۲۹	جدا
15 Rlp		۳	۱۳۵۲+۱۲۳۰+۱۰۶۷ (۳۶۴۹)	۹۰۸	۹۶۳	۹۹۹	جدا
16 Rlp		۱	۱۱۷۳	۱۱۲۲	۷۲۷	۱۰۷۱	G3
17 Rlp		۱	۱۱۷۳	۱۰۹۰	۷۲۷	۱۰۷۱	G3
18 Rlp		۱	۱۲۹۰	۹۳۹	۱۰۸۶	۱۰۲۱	جدا
19 Rlp		۳	۱۴۸۶+۱۳۵۲+۱۱۷۳ (۴۰۱۱)	۷۱۷	۱۷۶۴	۷۰۳	جدا
20 Rlp		۳	۹۷۱+۶۵۰+۶۷۸ (۲۲۹۹)	۲۴۹	۷۳۶	۱۴۱	جدا
21 Rlp		۱	۶۰۰	۴۸۹	۴۱۸	۱۷۵	جدا
22 Rlp		۱	۶۳۴	۶۳۰	۵۸۰	۲۲۰	جدا
23 Rlv	باقلاء	۳	۷۳۱+۵۷۷+۵۲۵ (۱۸۳۳)	۴۴۲	۵۳۹	۵۱۳	G4
24 Rlv		۳	۷۳۱+۵۷۷+۵۲۵ (۱۸۳۳)	۴۴۲	۴۳۹	۵۱۳	G4
25 Rlv		۱	۱۴۱۸	۱۳۸۰	۱۲۴۹	۹۸۷	جدا

26 Rlv		۱	۱۳۵۲	۱۳۱۶	۱۳۱۹	۹۲۲	G4
27 Rlv		۲	۹۲۶+۷۳۱+۶۷۵ (۲۲۳۲)	۷۶۵	۲۱۷۱	۲۰۸	جدا
28 Rlv		۳	۹۲۶+۷۳۱+۶۷۵ (۲۲۳۲)	۶۶۵	۳۷۱	۷۰۸	G5
29 Rlv		۱	۱۳۵۲	۱۳۱۶	۱۱۷۵	۹۰۴	G6
30 Rlv		۱	۱۳۵۲	۱۳۰۲	۱۳۱۱	۹۰۴	G6
31 Rlv		۲	۹۲۶+۷۳۱+۶۵۰ (۲۳۰۷)	۷۶۵	۶۶۲	۵۰۸	G5
32 Rlv	عدس	۱	۱۲۹۰	۱۱۵۶	۱۰۷۵	۱۰۴۵	جدا
33 Rlv		۱	۱۳۵۲	۹۱۲	۸۱۱	۸۹۴	G6
34 Rlt	شیدر	۲	۱۴۸۶+۱۲۹۰ (۲۷۷۶)	۸۰۳	۹۷۹	۷۸۲	جدا
35 Rlt		۱	۱۳۵۲	۹۷۷	۸۰۳	۹۲۸	G7
36 Rlt		۲	۱۴۸۶+۱۲۹۰ (۲۷۷۶)	۸۰۳	۸۷۳	۸۲۸	G7
37 Bsp	بادام زمینی	۱	۸۸۳	۸۱۷	۸۰۷	۷۹۸	جدا
38 Bsp		۲	۶۷۰+۶۸۰ (۱۳۵۰)	۶۱۴	۶۹۳	۳۴۷	جدا
40 Mc	نخود	۱	۹۷۱	۸۷۴	۷۴۲	۷۹۸	G8
41 Mc		۲	۹۷۱+۹۲۶ (۱۸۹۷)	۸۱۷	۶۷۶	۵۴۲	G8
42 Mc		۱	۹۷۱	۸۸۹	۷۶۲	۷۶۳	G8
43 Mc		۱	۹۷۱	۷۸۹	۶۴۶	۸۲۷	G8
44 Mc		۱	۱۱۷۳	۱۰۳۰	۴۲۰	۶۵۰	جدا
45 Mc		۱	۱۰۶۴	۹۴۵	۳۴۴	۷۹۸	G9
46 Mc		۱	۱۱۱۹	۹۷۵	۵۹۶	۸۵۳	G10
47 Mc		۱	۱۲۳۰	۱۲۱۴	۳۲۵	۶۸۱	جدا
48 Mc		۱	۱۰۱۸	۹۸۹	۷۶۲	۷۲۹	G8
49 Mc		۱	۱۰۶۴	۸۷۴	۵۹۶	۸۲۷	G10
50 Bj	سویا	۱	۸۸۳	۷۸۸	۸۲۳	۵۴۴	G11
51 Bj		۱	۸۸۳	۷۴۲	۸۱۲	۵۴۴	G11
52 Bj		۱	۹۷۱	۷۸۴	۵۰۷	۷۸۴	G9
53 Bj		۱	۱۲۳۰	۸۱۴	۶۰۱	۹۷۰	G12
54 Bj		۱	۱۲۳۰	۹۱۴	۶۰۱	۹۷۰	G12

Rsa I استفاده گردید. الگوی برش هرکدام از این آنژیمهای نیز الگوی ترکیبی برش آنژیمهای مذکور برای ۱۵ سویه باقی مانده تهیه شد. در الگوی برش هر دو آنژیم *Alu I* و *Rsa I* سویه های *Bj ۵۳* و *Bj ۵۴* از یکدیگر تفکیک شد در صورتیکه آنژیم *Dde I* قادر نبود تفاوت بین این دو سویه را نشان دهد. بعلاوه دراثر آنژیم *Alu I* سویه های *Alu I* و *Rsa I* از مجموعه‌ی تفکیک نشده‌ی *Sm ۱۳* و *Sm ۱۰* و *Sm ۱۱* و *Sm ۱۰* جدا شد. تمامی چهار سویه‌ی ریزوپیومی تفکیک شده با آنژیمهای *Alu I* و *Rsa I* (شامل *Bj ۵۴* و *Bj ۵۳* و نیز *Sm ۱۰* و *Sm ۱۳*) کماکان دارای حدود ۷۰ درصد تشابه بین گروهی می‌باشد و لذا درون کلاسترها مربوطه خود قرار می‌گیرند. باقی مجموعه‌ی های تفکیک نشده سویه‌های ریزوپیومی بعلت عدم تأثیر آنژیمهای سه گانه سری دوم به همان صورت درون گروههای کلاستر *G1* و *G3* و *G4* و *G5* باقی ماندند. اثر آنژیمهای سری دوم تنها منجر به تفکیک ۲۰ درصد از سویه‌های تفکیک نشده (۱۵ سویه) شد.

نتایج این تحقیق نشان می‌دهد که اولاً تنوع ژنتیکی فراوانی بین سویه‌های ریزوپیومی یک گونه و حتی بیووار مشاهده می‌شود. این نتیجه با مشاهدات بسیاری از محققین دیگر در این زمینه همخوانی دارد (۱۳، ۵، ۱، ۱۳). ثانیاً اینکه روش *S-23S IGS PCR-RFLP* ۱۶ قادر است تفاوت بین سویه‌های ریزوپیومی مورد مطالعه را که اختلاف آنها از جهات مختلف قابل ثابت شده است، بخوبی و در حد قابل قبولی نشان دهد. بطوريکه با استفاده از این روش تعداد ۴۰ سویه (۷۷ درصد) از مجموع ۵۲ سویه مورد مطالعه بخوبی و مشخصاً از یکدیگر تفکیک شد. بارسیر و همکاران (۲۰۰۲) همچنین لاگری و همکاران (۱۹۹۶ و ۱۹۹۴) نیز ثابت نمودند که قدرت تشخیص و تفکیک باکتریهای ریزوپیومی در سطح سویه توسط روش *S-23S IGS PCR-RFLP* ۱۶ همچون تعیین توالی منطقه *rRNA ۱۶S* و یا تکنیک *RFLP* این منطقه (۱۰، ۹) بسیار بیشتر است (۱).

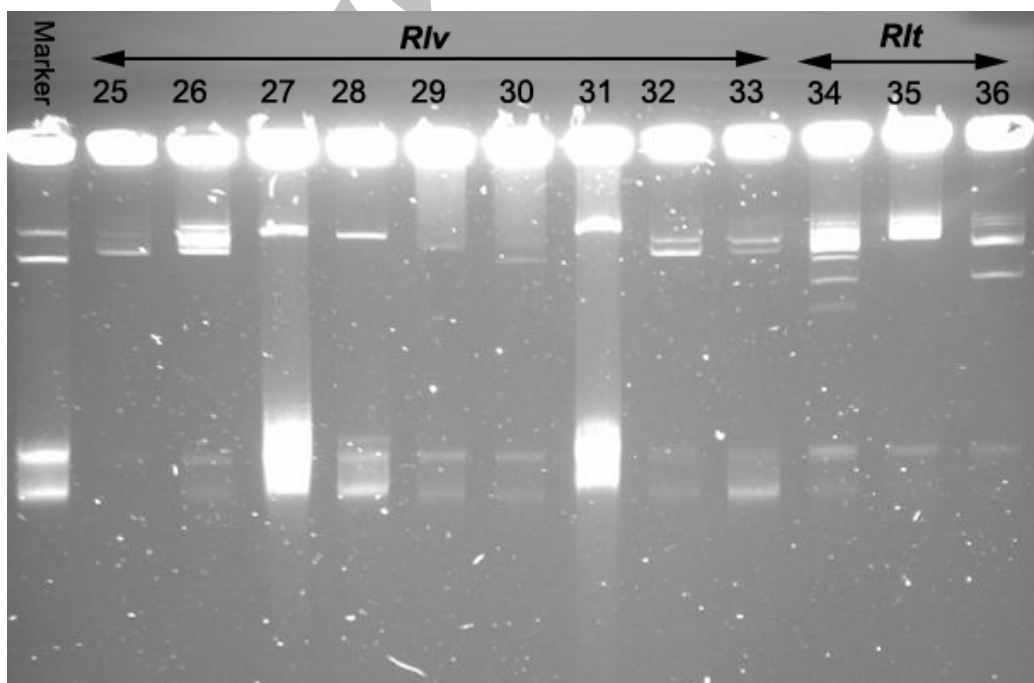
دندوگرام ترسیم شده نشان می‌دهد که بجز سویه‌های ۴ و ۳ و ۲ که به صورت مجزا قراردارند باقی سویه‌های *Sm* درون گروه‌های *G2* و *G1* قرار می‌گیرند و این موضوع حاکی از تشابه درون گروهی (بین سویه‌ای) آنها می‌باشد. در عوض تمامی سویه‌های *Rlp* بجز سویه‌های *G6* و *Rlp ۱۷* و *۱۶* بصورت مجزا می‌باشد. گروه‌های *G6* و *G5* و *G4* حاوی تمامی سویه‌های *Rlt* (به استثنای سویه‌های *Rlt ۳۲* و *۲۶*) است. سویه‌های *Rlt* نیز درون گروه *G7* قرار گرفته اند و سویه‌ی *Rlt ۳۴* با اندکی اختلاف (حدود ۱۵ درصد) بصورت جداگانه قرار دارد. همچنین سویه‌های تند رشد *Bj (54 Bj ۵۳)* درون گروه *G12* واقع شده و گروه *G11* نیز حاوی سویه‌های کند رشد ۵۱ و *Bj ۵۰* می‌باشد دیگر سویه‌ی کند رشد ، *Bj ۵۲* با اختلاف بسیار کم (کمتر از ۵ درصد) همراه با سویه ۴۵ *Mc* درون گروه *۹* قرار گرفته است. اغلب سویه‌های *Mc* شامل *Mc ۴۸* و *Mc ۴۳* و *۴۲* و *۴۱* و *۴۰* درون گروه *G8* قرار گرفته اند . گروه *G10* نیز شامل سویه‌های *Mc 49* و *۴۶* می‌باشد سویه‌های *Mc ۴۷* و *۴۴* نیز بصورت مستقل قرار گرفته اند. همچنین دندوگرام حاصل از الگوی ترکیبی برش آنژیمهای سه گانه نشان می‌دهد که ۱۵ سویه ریزوپیومی شامل سویه‌های *Sm ۷* و *۶* و *۵* (گروه *G1*)، سویه‌های *Sm ۱۳* و *۱۲* و *۱۱* و *۱۰* (گروه *G2*)، همچنین *Rlp ۱۷* و *۱۶* (گروه *G3*)، سویه‌های *۳۴* (گروه *G5*) (۲۳ گروه *G4*) ، سویه‌های *Rlp ۲۸* و *۲۷* (گروه *G12*) بدون اختلاف و نیز سویه‌های *۵۴ Bj* و *۵۳* (گروه *G12*) بدون اختلاف درون گروه‌های کلاستری مربوط به خود قرار گرفته اند. بطورکلی با استفاده از سه آنژیم سری اول و نیز الگوی ترکیبی برش این سه آنژیم تعداد ۳۷ سویه (۷۱/۲ درصد) از مجموع ۵۲ سویه ریزوپیومی مورد مطالعه کاملاً از یکدیگر تفکیک شد.

برای مطالعه ارتباط ژنتیکی و امکان تفکیک تعداد ۱۵ سویه ریزوپیومی که آنژیمهای سه گانه سری اول قادر به تمیز بین آنها نبود از آنژیمهای سه گانه سری دوم شامل *Alu I*

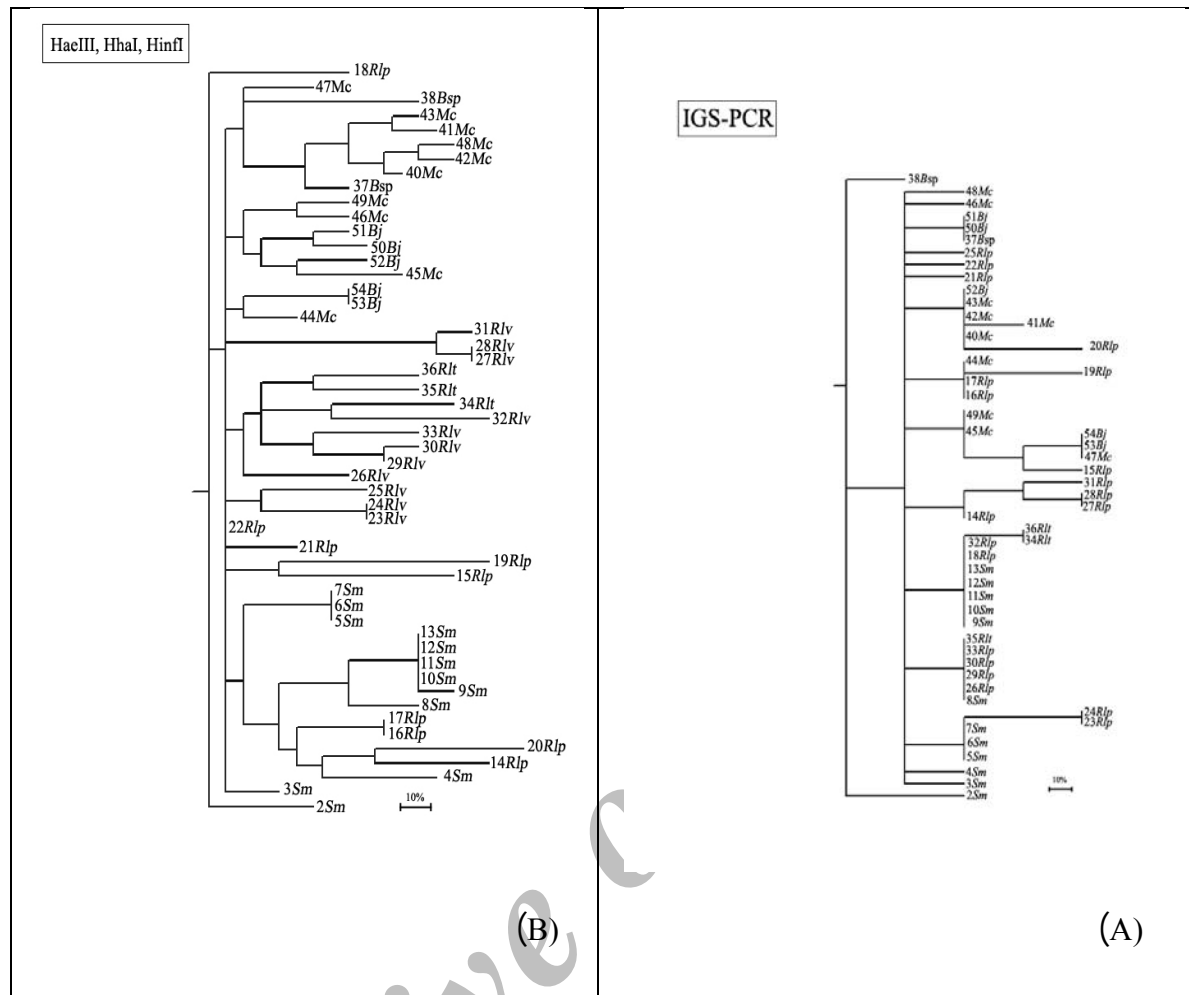
ترسیم دندوگرام مربوط به پروفیل پلاسمیدی سویه‌های ریزوبیومی نیز از نرم افزار Phylogenetic tree version 3.6 a3 استفاده شد. دندوگرام مربوط به پروفیل پلاسمیدی سویه‌های *Rlp* و *Sm* نشان می‌دهد که تمامی سویه‌های مذکور در ۹ گروه قرار می‌گیرند. سویه‌های *Sm* ۷، ۶، ۴ بدون اختلاف با یکدیگر بر روی بخشی از گروه یک قرار دارند و درکنار آنها سویه‌*Sm* ۲ با اختلاف نسبی حدود ۱۷ درصد قرار می‌گیرد. سویه‌های *Sm* ۸ و ۵ و ۳ نیز با اندکی اختلاف (*حدود ۳۰* درصد) بر روی گروه ۲ و مابقی سویه‌های *Sm* شامل سویه‌*Sm* ۱۳ و ۱۲ و ۱۱ بدون اختلاف درکنار یکدیگر در گروه ۳ قرار دارند. تمامی سویه‌های *Rlp* درون گروه‌های ۵ و ۹ واقع شد و اعضای گروه ۵ (۱۷ و ۱۶ و ۱۵) بصورت یک گروه با تشابه درون گروهی حدود ۷۰ درصد، ولی سویه‌های درون شاخه ۹ (۹ و ۱۹ و ۱۸ و ۱۴) با اختلافی بیش از ۳۰٪ درکنار هم قرار می‌گیرند.

بطورکلی می‌توان روش IGS PCR-RFLP را بدليل توانایی آن در تفکیک بین سویه‌های همچنین بدليل سادگی آن در مقایسه با دیگر روش‌های مولکولی موجود برای مطالعهٔ نحوه ارتباط ژنتیکی بین سویه‌ای و نیزگروه بندی سویه‌های ریزوبیومی مناسب دانسته و توصیه نمود. اولیویرا و همکاران (۱۹۹۹)، مارتینزو همکاران (۱۹۹۹) همچنین بارسیرو همکاران (۲۰۰۰) نیز تکنیک حاضر را به دليل کارآمدی و اطمینان، سادگی و نیازهای آزمایشگاهی کمتر برای تشخیص سریع، توصیف و غربال کردن سویه‌های ریزوبیومی توصیه می‌کنند (۱۲، ۱۳).

۲- گروه بندی سویه‌های ریزوبیومی براساس پروفیل پلاسمیدی: پروفیل پلاسمیدی سویه‌های ریزوبیومی بروش اکهارت تهیه شد. دراین روش DNA پلاسمیدی تمامی ۵۲ سویه ریزوبیومی توسط سه ژل آگاروز ۰/۸ درصد با ابعاد 25×20 cm الکتروفورز و مقایسه پلاسمیدی بین سویه‌ها انجام پذیرفت. شکل ۲ پروفیل پلاسمیدی سویه‌های *Rlv* و *Rlt* را نشان می‌دهد. برای



شکل ۲- پروفیل پلاسمیدی سویه‌های *Rlv*, *Rlt*



شکل ۳- دندوگرام گروه بندی سریه های ریزوبیومی بر اساس (A) ۱۶S-۲۳S IGS DNA قبل از برش آنزیمی (B) بعد از برش توسط آنزیمهای *Hae III , Hha I , Hinf I*

دندوگرام سوم مربوط به سویه های *Bj* و *Mc* می باشد که در این دندوگرام سویه های *Mc* ۴۶ و ۴۵ و ۴۴ و ۴۳ و ۴۱ بدون اختلاف درون گروه اول قرار می گیرند ولی سویه های *Mc* ۴۹ با سویه های قبل اندکی اختلاف دارد. سویه های *Mc* ۴۸ و ۴۲ نیز با اختلاف بیش از ۳۰ درصد درون گروه ۲ واقع می شوند. سویه ۴۷ *Mc* در کنار سویه های تند رشد ۵۰ و ۵۳ *Bj* قرار دارند. سویه های کند رشد ۵۱ و ۵۲ *Bj* بدون اختلاف در یک گروه می باشند ولی سویه های *Bj* اختلاف نسبتاً زیادی با آن دو سویه دارد.

در مجموع گروه بندی مبتنی بر پروفیل پلاسمیدی سویه های مختلف ریزوبیومی مورد استفاده در این تحقیق تا حدودی با نتایج حاصل از روش IGS PCR-RFLP

دندوگرام مربوط به پروفیل پلاسمیدی سویه های *Bsp* و *Rlt* و *Rlv* نشان می دهد بجز سویه های *Rlv* ۳۰ و ۲۲ که بصورت مجزا قرار گرفته اند. سویه های *Rlv* ۲۴ و ۲۳ بدون اختلاف در گروه ۲ واقع می شوند و در کنار آنها سویه های *Rlv* ۲۹ و ۲۸ و ۲۶ و ۲۵ و بصورت یک گروه با تشابه حدود ۷۰ درصد قرار می گیرند. سویه های *Rlv* ۳۱ و ۲۷ نیز بدون اختلاف با یکدیگر در گروه ۶، همچنین سویه های *Rlv* ۳۳ و ۳۲ بدون اختلاف در کنار یکدیگر و همراه با سویه های *Rlt* ۳۶ و ۳۴ در گروه ۸ قرار دارند. این سویه ها در کنار سویه های ۳۸ و ۳۷ بدون اختلاف همگی در گروه ۱۲ واقع می شوند.

عدم وجود همبستگی کامل بین دو روش مذکور ، صرف نظر از ماهیت دو روش ، احتمالاً به استعداد سویه های ریزوبیومی برای از دست دادن و یا دریافت مجدد پلاسمید نیز ارتباط دارد (۱۱).

سپاسگزاری: این تحقیق با حمایتهای مالی آزمایشگاه بیولوژی و بیوتکنولوژی خاک دانشگاه لواه انجام پذیرفته است، که بدینوسیله از مساعدتهای انجام شده تشکر و قدردانی بعمل می‌آید. همچنین از راهنمائی های دوست R. Kuwa عزیز آقای دکتر محمود محمدی و نیز از آقای کارشناس آزمایشگاه تحقیقات بیولوژی و بیوتکنولوژی خاک ، مرکز تحقیقات علوم زیستی دانشگاه لواه تشکر می شود. در پایان لازم است از مساعدت ریاست وقت مؤسسه تحقیقات خاک و آب کشور استاد محترم آقای دکتر جعفر ملکوتی و نیز همکاران ایشان تشکر و سپاسگزاری بعمل آید.

هماهنگی دارد، بطور مثال سویه های *Bj* ۵۴ و *Rlv* ۲۴ و *Rlp* ۲۳ ، همچنین سویه های *Sm* ۱۳ و *Sm* ۱۲ و *Rlp* ۱۷ و *Rlp* ۱۶ و سویه های *Sm* ۱۱ در هردو روش بصورت کاملاً مشابه در کنار یکدیگر و درون گروههای کلاستری جداگانه ای قرار گرفته اند. ریگوتیر - گویس و همکاران (۱۹۹۸) و لاگری و همکاران (۱۹۹۲) نیز گزارش نمودند که همبستگی نسبی بین ژنتیپهای سیمپلاسمیدی و ژنتیپ های کروموزمی ریزوبیومها وجود دارد (۱۱). البته قدرت تفکیک و تمایز بین سویه های ریزوبیومی در روش RFLP بیشتر از روش پروفیل پلاسمیدی است، بطوریکه از مجموع ۵۲ سویه تعداد ۴۱ سویه (حدود ۷۹ درصد) از یکدیگر تفکیک شد در صورتیکه در روش پروفیل پلاسمیدی تنها تعداد ۲۶ سویه از مجموعه ۵۲ سویه ریزوبیومی (۵۲ درصد) با دیگر سویه ها متفاوت بوده و بین مابقی تفاوتی مشاهده نشد.

منابع

1. Bourcier, F. D., A. Willems, R. Coopman, G. Laguerre, M. Gillis ,and P. Lajudie. 2000. Genotypic characterization of *Bradyrhizobium* strains nodulating small Senegalese legumes by 16S–23S rRNA intergenic gene spacers and amplified fragment length polymorphism fingerprint analyses. *Appl. Environ. Microbiol.* 66: 3987-3997.
2. Chen, W. P., and T. T. Kuo. 1993. A simple and rapid method for the preparation of gram negative bacterial genomic DNA. *Nucl. Acids Res.* 21: 2260.
3. De Oliveria,V. M.,H. L. C. Coutinho, B. W. S. Sobral,C. T. Guimares, J. D. Van Elsas, and G. P. Manfio. 1999. Discrimination of *Rhizobium tropici* and *R. leguminosarum* strains by PCR specific amplification of 16S-23S rDNA spacer region fragments and denaturing gradient gel electrophoresis. *Lett. Appl. Microbiol.* 28:137-141.
4. Eckhardt, T. 1978. A rapid method for the identification of plasmid desoxyribonucleic acid in bacteria. *Plasmid.* 1:584-588.
5. Guo, X. W., X. X. Zhang, and F. Di Li. 1999. Characterization of *Astragalus sinicus* Rhizobia by restriction fragment length polymorphism analysis of chromosomal and nodulation genes regions. *Current Microbiol.*39: 358-364.
6. Gurtler, V. and Stanisich, V.A.1996. New approaches to typing and identification of bacteria using the 16S-23S rDNA spacer. *Microbiology* 142: 3-16.
7. Jensen, M. A., J. A. Webster, and N. Straus.1993. Rapid identification of bacteria on the basis of polymerase chain reaction-amplified ribosomal DNA spacer polymorphisms. *Appl. Environ. Microbiol.* 59: 945-952.
8. Kostman, J.R. Edind, T.D., Lipuma, J.J. and Stull, T.L.1992.Molecular epidemiology of *Pseudomonas Cepacia* determined by polymerase chain reaction ribotyping. *J.Clin Microbiol.* 30,2084_2087.
9. Laguerre, G., M. R. Allard, F. Rovey, and N. Amarger. 1994. Rapid identification of rhizobia by restriction fragment length polymorphism analysis of PCR-amplified 16S rRNA genes. *Appl. Environ. Microbial.* 60: 56-63.
10. Laguerre, G., P. Mavingui, M. R. Allard, M. P. Charnay, P. Louvrier, S. I. Mazurier, L. Rigottier-Gois, and N. Amarger. 1996. Typing of rhizobia by PCR DNA fingerprinting and PCR-restriction fragment length polymorphism

- analysis of chromosomal and symbiotic gene regions: application to *Rhizobium leguminosarum* and its different biovars. *Appl. Environ. Microbiol.* 62: 2029-2036.
11. Laguerre, G., S. I. Mazurier, and N. Amarger. 1992. Plasmid profiles and restriction fragment length polymorphism of *Rhizobium leguminosarum* bv. *Viciae* in field populations. *FEMS Microbiol. Ecol.* 101: 17-26.
 12. Martinez, J. G., S. G. Acinas, A. I. Anton, and F. R. Valera. 1999. Use of the 16S-23S ribosomal gene spacer region in studies of prokaryotic diversity. *J. Microbiol. Methods.* 36: 55-64.
 13. Martinez –Romero, E. and Caballero – Mellado . 1996 Rhizobium phylogenies and bacterial genetic diversity. *Crit: Rev. Plant Sci.* 15:113-140.
 14. Normand, P., C. Ponsonnet, X. Nesme, M. Neyra, and P. Simonet. 1996. ITS analysis of prokaryotes. In Molecular Microbial Ecology Manual ed.Akkermans,A.D.L., van Elsas, J.D. and De Bruijn, F.J.Dordrecht, The Netherlands: Kluwer Academic.
 15. Nour, S. M.,J. C. Cleyet-Marel, D. Beck, A. Effosse, and M. P. Fernandez.1994a. Genotypic and phenotypic diversity of *Rhizobium* isolated from chickpea (*Cicer arietinum* L.).*Can. J. Microbiol.* 40: 345-354.
 16. Nour, S. M., M. P. Fernandez, P. Normand, and J. C. Cleyet-Marel. 1994b. *Rhisobium ciceri* sp. nov., consisting of strains that nodulate chickpeas (*Cicer arietinum* L.). *Int. J. Syst. Bacteriol.* 44: 511-522.
 17. Perret, X., and W. J. Broughton. 1998. Rapid identification of *Rhizobium* strains by targeted PCR fingerprinting. *Plant.Soil.* 204: 21-34.
 18. Quatrini, P., G. Scaglione, M. Caradonna and A. M. Puglia. 2002. *Bradyrhizobium* sp. nodulating the Mediterranean shrub spanish broom(*Spartium junceum* L.). *J. Appl. Microbiol.* 92: 13-21.
 19. Rigottier-Gois, L., S. L. Turner, J. P. W. Young, and N. Amarger.1998. Distribution of repC plasmid-replication sequences among plasmids and isolates of *Rhizobium leguminosarum* bv. *viciae* from field populations. *Microbiol.* 144:771-780.
 20. Roth, A., M. Fischer, M.E. Hamid, S. michalke , W. ludwing and H. mauch. 1998. Differentiation of phylogenetically related slowly growing mycobacteria based on 16S-23S rRNA gene internal transcribed spacer sequences. *J.clin. microbiol.*36:139-147.
 21. Somasegaran, P., and H. J. Hoben. 1994. Handbook for Rhizobia Methods in Legume-Rhizobium Technology.P.267-278. Springer-Verlag, New York.

Genetic Grouping of Certain Indigenous Rhizobial strains by 16S-23S IGS PCR-RFLP and Plasmid Profile

Alikhani H.¹, Yakhchali B.^{1,2}, and Honey Antovan³

¹Faculty of Agriculture, University of Tehran, Karaj, I.R. of Iran

²National Institute for Genetic Engineering and Biotechnology, Tehran, I.R. of Iran

³Faculty of Agriculture, Universite' Laval, Quebec, Canada

Abstract

Among prokaryotes, there are certain soil bacteria known as rhizobacteria which are very significant owing to their N₂ fixation ability in legumes. The nucleotide sequence of the intergenic spacer (IGS) fragments residing between the 16S and 23S rRNA genes (16S-23S IGS) are not very conserved and thus are very useful in the grouping of rhizobial strains. In this research, 52 superior plant growth promoting rhizobacteria (PGPR) were grouped based on 16S-23S IGS PCR-RFLP and plasmid profiles. The results showed that the 16S- 23S IGS fragments of different rhizobial strains vary in size (600-1486 bp) and the number of IGS copies (1-3 copies). Based on the 16S-23S IGS PCR-RFLP profiles all 52 strains were located in 48 groups with 11 groups showing 70% intraspecies similarity. By using the above method, 77% of the strains (except 12 strains *Bj* 53, *Bj* 54; *Rlv* 27, *Rlv* 28, *Rlv* 23, *Rlv* 24; *Rlp* 16, *Rlp* 17; *Sm* 10, *Sm* 11, *Sm* 12 and *Sm*13) were separated into different groups. Therefore, this simple method which possesses minimal lab requirements is highly reliable and applicable for the genetic grouping of rhizobacteria in comparison to other molecular methods. The grouping based on the plasmid profile of rhizobial strains was in agreement (to some extent) with the results of the 16S-23S IGS PCR-RFLP method. For example, grouping of the *Bj* 53, *Bj* 54; *Rlv* 23, *Rlv* 24; *Rlp* 16, *Rlp* 17 and *Sm* 11, *Sm* 12 and *Sm*13 strains in both methods were completely similar and located in separate cluster groups.

Key words: Rhizobial strains, 16S-23S IGS PCR-RFLP, plasmid profile, genetic grouping, PGPR